

关于实数精确计算的一个可行中值定理

张静雯

2011年 7月 15日

摘要

本论文在C++语言的基础上使用„iRRAM库“来编译和实现三分法这一算法，以便达到实数精确计算这一目标。论文中涉及了实数，实数序列和实数函数可计算性的基础理论知识，并且运用中值定理和三分法证明函数零点值的可计算性。最后对于这一算法的实现程序加以详细的解释，并同时对„iRRAM库“中所用到的主要函数进行了简单的介绍。

目录

1 前言	3
2 基本原理	3
2.1 图灵机	3
2.2 实数的可计算性	3
2.3 实数序列的可计算性	4
2.4 实数函数的可计算性	4
2.4.1 指数函数	5
2.4.2 三角函数	5
2.4.3 对数函数	6
2.5 中值定理	6
2.6 三分法	7
3 iRRAM (迭代 Real-RAM)	7
3.1 iRRAM 简介	7
3.2 REAL类(REAL Class)	8
3.3 多值函数	8
3.4 惰性布尔 LAZY_BOOLEAN	9
3.5 函数 choose	10
3.6 仿函数 FUNCTION	10
4 用 iRRAM 库实现三分法并精确计算零点值	11
4.1 程序解释	11
4.2 函数 find_non_null_point	12
4.3 函数 trisection_approx	12
4.4 程序运行结果	13
A 程序运行时间表	16
B 程序代码	17

1 前言

在本论文中编写了用三分法精确计算实数函数零点值的程序，该程序使用了特里尔大学诺伯特·米勒教授(Prof. Norbert Müller an der Universität Trier)编写的C++-库 iRRAM。该库模拟了一个Real-RAM 机，用迭代的方法计算出任意给定精度的实数值。

本论文分为三部分。首先分析实数，实数序列和实数函数的可计算性，并证明了三分法可用来计算(在限定条件下)实数函数的零点值。然后简单介绍并解释C++-库 iRRAM的主要函数，他们被用于实现三分法这一算法。最后解释了所编程序的重要部分。

本论文也备有德文版本，标题为„ Ein effektiver Zwischenwertsatz als Fallstudie für exakte reelle Arithmetik“。

2 基本原理

可计算性分析是数值分析，也就是具备任意精度的近似数字计算的理论基础。在一般的分析中，人们只研究实数，函数以及在此基础上构建的结构。而可计算性分析则研究实数结构在数字计算机上何时及如何被计算。

可计算性分析这个概念和图灵机紧密相连，图灵机将在下节进行介绍。

2.1 图灵机

„图灵机是英国科学家阿兰·图灵(Alan Turing)在1936年发展出来的模型，用来构建一个可计算函数的类。它是理论计算机科学的基础。“ [8]

图灵机是一个简单的计算机，用来对函数计算的算法进行形式上的定义。按照 „邱奇-图灵论题(Church-Turing-These)“：一切直觉上能计算的函数都可用图灵机计算，反之亦然 [1]。这个论题是无法证明的，因为 „可计算函数“是无法在形式上加以定义的。为了证明函数的不可计算性，人们就假定此论题为真。除了图灵以外其他人也没有发现比图灵机更有效的计算模型。

2.2 实数的可计算性

柯西序列(Cauchy-Folge)是计算实数及其序列，幂级数和函数的基本帮助工具。从有理数序列的可计算性出发，可以很容易得定义实数和实数序列的可计算性 [7]：

定义 2.2.1. 一个实数 x 被称为可计算的，如果存在一个可计算的有理数序列 (ε_m) ，并且对于另一个可计算的有理数序列 (q_m) ， $\forall m \in \mathbb{N}$ ，满足

$$|x - q_m| \leq \varepsilon_m \xrightarrow{m \rightarrow \infty} 0$$

与其等价的还有一个定义：

定义 2.2.2. 一个实数 x 被称为可计算的，如果对于一个可计算的有理数序列 (q_n) ， $\forall n \in \mathbb{N}$ ，满足

$$|x - q_n| \leq 2^{-n}$$

2.3 实数序列的可计算性

现在已证明了实数的可计算性。由于计算机的存储量是有限的，实数虽可计算，但不能储存。因此实数序列将被用来近似一个实数。这就引出了实数序列是否可计算的问题：

定义 2.3.1. 一个实数序列 (x_m) 被称为可计算的，如果对于一个可计算的有理数双序列 $(q_{m,n})$ ， $\forall m, n \in \mathbb{N}$ ，满足

$$|x_m - q_{m,n}| \leq 2^{-n}$$

为了用实数序列对实数进行近似计算，有以下定义：

定义 2.3.2. 一个可计算的实数序列 (x_m) 被称为是有效收敛的，如果存在可计算有理数序列 (ε_m) ，满足

$$|x_m - x| \leq \varepsilon_m \xrightarrow{m \rightarrow \infty} 0$$

这就引出以下定理：

定理 2.3.3. 如果一个可计算的实数序列 (x_m) 有效收敛，则 $x := \lim_{m \rightarrow \infty} x_m$ 可计算。

证明. (x_m) 是一个可计算的实数序列，则对可计算的有理数序列 $(q_{m,n})$ 满足：

$$|x_m - q_{m,n}| \leq 2^{-n}$$

由于 (x_m) 是有效收敛的，则存在可计算有理数序列 (ε_m) ，且

$$|x_m - x| \leq \varepsilon_m \xrightarrow{m \rightarrow \infty} 0$$

现在假设 $q_m := q_{m,m} \subseteq \mathbb{Q}$ 是可计算序列，则

$$|x - q_m| = |x - x_m + x_m - q_m| \leq \underbrace{|x - x_m|}_{\varepsilon_m \xrightarrow{m \rightarrow \infty} 0} + \underbrace{|x_m - q_{m,m}|}_{2^{-m} \xrightarrow{m \rightarrow \infty} 0} \xrightarrow{m \rightarrow \infty} 0$$

因此按照定义2.2.1 $x := \lim_{m \rightarrow \infty} x_m$ 是可计算的。□

由此推出，一个可计算的实数序列有效收敛是其极限值可计算的充分条件。

2.4 实数函数的可计算性

从实数序列的可计算性可推出实数函数的可计算性。首先来观察一下幂级数并证明它是可计算的：

定理 2.4.1. 假设 $P(x) := \sum_{n=0}^{\infty} a_n x^n$ 是一个幂级数， x 是一个可计算的实数，且 a_n 是一个可计算的有理数系数序列，并且在它的收敛半径

$$R := \frac{1}{\lim_{n \rightarrow \infty} \sup \sqrt[n]{|a_n|}}$$

里有效收敛，则 $P(x)$ 是可计算的。

在两个实数 a 和 b , 且 $a < b$ 之间总是存在至少一个有理数 r , 且满足 $a < r < b$ 。所以在两个实数之间也存在无数个有理数。那么也可以说, 有理数“稠密”地存在在实数之间。

证明.

$$|x|, R \in \mathbb{R}, |x| < R \Rightarrow \exists q, r \in \mathbb{Q}, |x| < q < r < R$$

柯西-阿达马(Cauchy-Hadamard): $\exists M \in \mathbb{N}, |a_n| < Mr^{-n}, \forall n \in \mathbb{N}$

$$\begin{aligned} \left| \underbrace{\sum_{k=0}^{\infty} a_k x^k}_{P(x)=:x} - \underbrace{\sum_{k=0}^m a_k x^k}_{x_m} \right| &= \left| \sum_{k=m+1}^{\infty} a_k x^k \right| \leq \sum_{k=m+1}^{\infty} |a_k| |x|^k \\ &\stackrel{\text{Cauchy-Hadamard}}{<} \sum_{k=m+1}^{\infty} Mr^{-k} |x|^k = M \sum_{k=m+1}^{\infty} \left(\frac{|x|}{r} \right)^k = M \left(\frac{|x|}{r} \right)^{m+1} \underbrace{\sum_{k=0}^{\infty} \left(\frac{|x|}{r} \right)^k}_{\text{几何级数}} \\ &= M \left(\frac{|x|}{r} \right)^{m+1} \frac{1}{1 - \frac{|x|}{r}} \stackrel{|x| < q < r}{\leq} \underbrace{M \left(\frac{q}{r} \right)^{m+1} \frac{1}{1 - \frac{q}{r}}}_{\in \mathbb{Q}} =: \varepsilon_m \xrightarrow{m \rightarrow \infty} 0 \text{ 可计算} \end{aligned}$$

并且 x_m 是可计算的 [6]

$\Rightarrow x_m$ 根据定义 2.3.2 有效收敛。

因此 $P(x)$ 由定理 2.3.3 推出是可计算的。

□

现在下列函数的可计算性就可以很容易地理解:

2.4.1 指数函数

$$e^x = \sum_{n=0}^{\infty} \frac{1}{n!} x^n$$

指数函数的系数序列 $a_n = \frac{1}{n!} \in \mathbb{Q}$ 是可计算的, 其收敛半径 $R = \infty$, 因此指数函数 e^x 按照定理 2.4.1 $\forall x \in \mathbb{R}$ 是可计算的。

2.4.2 三角函数

首先观察一下正弦函数:

$$\sin x = \sum_{n=0}^{\infty} \frac{(-1)^n}{(2n+1)!} x^{2n+1}$$

它的系数序列

$$a_n = \begin{cases} -\frac{1}{m!}, & m = 2n + 1 \\ 0, & m = 2n \end{cases}$$

是可计算的，其收敛半径 $R = \infty$ ，因此按照定理 2.4.1 正弦函数 $\sin x, \forall x \in \mathbb{R}$ 同样是可计算的。

类似于正弦函数，得出余弦函数

$$\cos x = \sum_{n=0}^{\infty} \frac{(-1)^n}{(2n)!} x^{2n}$$

也是可计算的。

2.4.3 对数函数

对数函数同样是可计算的：

$$\ln(1+x) = \sum_{n=1}^{\infty} (-1)^{n-1} \frac{x^n}{n}$$

其中系数序列

$$a_n = -\frac{(-1)^n}{n} \in \mathbb{Q}, \forall n > 0$$

是可计算的，其收敛半径为：

$$R = \frac{1}{\lim_{n \rightarrow \infty} \sup \sqrt[n]{\frac{1}{n}}} = 1$$

$$r = 1$$

$$|x| < 1$$

$$I := (0, 2)$$

按照定理 2.4.1 对数函数 $\ln(1+x), \forall |x| < 1$ 是可计算的。

对上述例子中的函数，它们的可计算性得到了证明。实际上几乎所有的数学分析函数都是可计算的，也就是说：存在计算方法，能在有限步骤内得出函数值 [2]。

2.5 中值定理

目前为止，给出了可计算的实数 x ，则函数 $f(x)$ 是可计算的。那么在什么条件下，满足 $f(x) = 0$ 的实数 x 可计算呢？

中值定理保证了这种实数的存在性：

定理 2.5.1. 假设 $f: [a, b] \rightarrow \mathbb{R}$ 是连续的实数函数，且实数 u 满足 $f(a) \leq u \leq f(b)$ 或 $f(b) \leq u \leq f(a)$ ，则存在 $x \in [a, b]$ 使得 $f(x) = u$ 。

零点定理：假设实数函数 $f(x)$ 在闭区间 $[0, 1]$ 上连续，且满足 $f(0) * f(1) < 0$ ，则必存在 $x \in (0, 1)$ 使 $f(x) = 0$ 成立。零点定理是中值定理的一个特例，是由伯纳德·博尔扎诺 (Bernard Bolzano) 于 1817 年首先证明的 [9]。

2.6 三分法

现在假设一个给定的，可计算的连续函数 $f : [0, 1] \rightarrow \mathbb{R}$ ，且 $f(0) * f(1) < 0$ 证明能精确计算出一个零点值 $x \in [0, 1]$ ， $f(x) = 0$ 。我们先设定函数 f 有，且只有一个零点：

定理 2.6.1. 假设 $f : [0, 1] \rightarrow \mathbb{R}$ 是可计算的连续函数，满足 $f(0) * f(1) < 0$ ，且只有一个零点，则这个零点可计算的。

证明. [2, 第 459 页] 在传统的二分法中，函数值将与 0 比较，但是这种比较在有限的时间内是不可靠的。因此将使用二分法的一个变种即三分法，它要比二分法稳定。首先设 $a_0 := 0$ ， $d_0 := 1$ ，并假设 $a_i, d_i \in [0, 1]$ ， $d_i - a_i = (2/3)^i$ 且 $f(a_i) * f(d_i) < 0$ (当 $i = 0$ 时，此为真)。然后同时计算函数值 $f(a_i) * f(a_i + \frac{2}{3}(d_i - a_i))$ 和 $f(a_i + \frac{1}{3}(d_i - a_i)) * f(d_i)$ ，当其中一值为负时，将进行下一个循环的计算。三分法保证了其中必定有一值为负。当第一个值小于 0 时，则设 $a_{i+1} := a_i$ ， $d_{i+1} := a_i + \frac{2}{3}(d_i - a_i)$ ；当第二个值小于 0 时，则设 $a_{i+1} := a_i + \frac{1}{3}(d_i - a_i)$ ， $d_{i+1} := d_i$ 。这样就产生了一个区间 $[a_i, d_i]$ 的序列，其长度为 $(\frac{2}{3})^i$ ，并收敛于函数 f 的零点。因此由定理 2.3.3 得出此零点值是可计算的。□

对于在闭区间 $[0, 1]$ 上含有多个零点的函数，它的其中一些零点值是可计算的，但是三分法并不适用于这种情况。

3 iRRAM (迭代 Real-RAM)

iRRAM 是一个对实数进行精确计算的 C++ 库，它是在 Real-RAM 这一概念上构建的。Real-RAM 即一个可以进行实数计算的图灵机，iRRAM 库模拟了这样的一个 Real-RAM 机，它的精度随着迭代而不断提高，达到任意给定的精度。[4]

在这一章中将简要介绍 iRRAM 的基本结构和重要的函数，它们将用于编译和实现实数的精确计算。

3.1 iRRAM 简介

用 iRRAM 精确计算实数值，要用到 REAL 类。作为例子，我们用 Heron 算法计算 \sqrt{x} (表 1 [5]) 来说明。

```

1 // Function to approximate the square root for basis 2
2 REAL wurzel_approx(long p, REAL x)
3 {
4 // Define two real numbers a and b
5 REAL a = 1, b = x;
6 // Iterate the algorithm until the result has the needed precision
7 do {a = (a + b) / 2; b = x / a; } while( !bound(a - b, p) );
8 // Return the result
9 return a;
10 }
11
12 // The limit of the real series is the "real" square root with basis 2
13 REAL wurzel(const REAL& x) {return limit(wurzel_approx, x);}

```

表 1: iRRAM-程序：运用 Heron 算法计算 \sqrt{x}

在第5行, 变量 a 和 b 被初始化, 都定义为 `REAL` 类。`REAL` 类会在 3.2 节中作进一步介绍。Heron算法在第 7 行实现, 其中使用 `iRRAM` 的函数 `bound`, 来检验近似值的精度。如果精度不够, 则将继续进行迭代。函数 `bound` 会在 3.3 节中介绍。

函数 `wurzel_approx` 得出一组实数序列, 它会在第 13 行中被函数 `limit` 调用, 以计算出极限值(即 \sqrt{x})。最后由函数 `wurzel` 返回这一结果。

函数 `limit` 在 `iRRAM` 中定义为:

`REAL limit (REAL a(long, const REAL&), const REAL& x);` 它要求二个参数: 实数函数 `a(long, const REAL&)`, 其本身又带两个参数, 以及一个要开根号的实数 x 。返回结果 \sqrt{x} 就是区间序列的极限值。

由表 1 所示, 只需实例化 `REAL` 类, 就可精确计算出实数值。`iRRAM` 确保计算出任意给定精度的近似值, 使用者无须关心其实现过程。

3.2 REAL类(REAL Class)

`REAL` 类是 `iRRAM` 库的核心, 它有很多构造函数, 在求零点值的程序里用到了以下构造函数:

```
1 // Returns real number 0
2 REAL ();
3 // Returns real number i
4 REAL (const int i);
5 // Returns real number y
6 REAL (const REAL& y);
```

表 2: `REAL`类的构造函数

`REAL` 重定义了操作符 $+$, $-$, $*$, $/$ 因此在大多数情况下, 可以象平时一样进行算术运算。`iRRAM` 保证操作符运算的精确度。

3.3 多值函数

`iRRAM` 要求所有函数是连续的 [4, 第15页], 但有很多函数是不连续的, 因此它们不能被用于 `iRRAM`。这些函数至少要在给定区间内连续, 或者就如除法中 0 被从定义域里去掉。

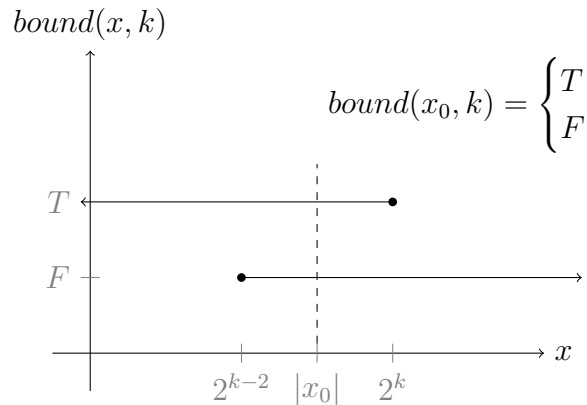
在表 1 的程序 `wurzel_approx` 及求零点值的程序 `trisection_approx` (程序第 109 行) 中, 函数 `bound(x,k)` 被调用来作为近似中断的条件。它在 `iRRAM` 中是这样定义: `bool bound(const REAL& x, const long k)`, 用它可以检验实数 x 是否“足够小”。

$$\text{bound}(x, k) = \begin{cases} T, & |x| < 2^k \\ T \\ F \end{cases}, \quad 2^{k-2} \leq |x| \leq 2^k$$

$$F, \quad |x| > 2^{k-2}$$

如上所示, 函数 `bound(x,k)` 的返回值为布尔值的真或假 (T 或 F)。并可以看到, 当 $2^{k-2} \leq |x_0| \leq 2^k$ 时, 该函数可以有两个值即“多值函数”。到底该函数返回 T 还是 F , 是不确定的。由于返回值的选择被打包在函数中, 每次的迭代结果也就不可预见。

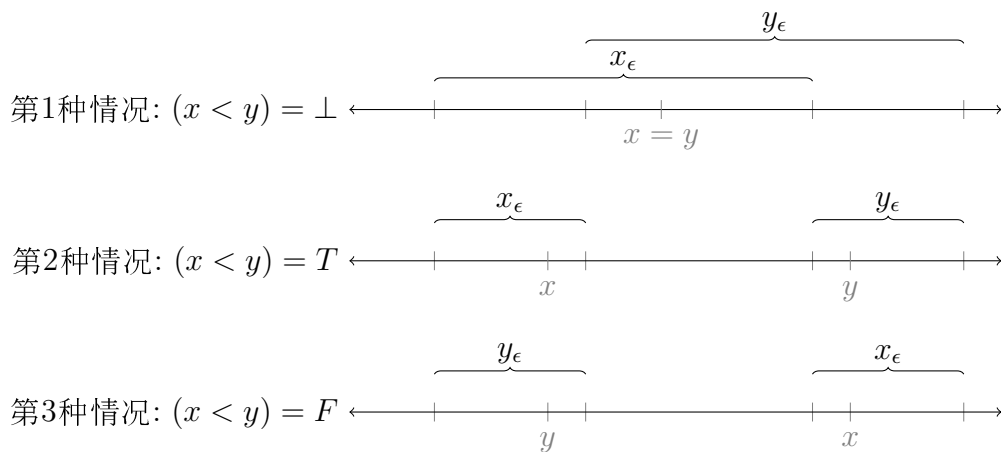
因为函数 `bound(x,k)` 是个多值函数, 所以函数 `wurzel_approx` 也是个多值函数:

图 1: 多值函数 $bound(x, k)$

- 当 $|a - b| > 2^p$ 时, 肯定会继续迭代 (因为 $!bound(a-b, p) == TRUE$);
- 当 $|a - b| < 2^{p-2}$ 时, 肯定停止迭代 (因为 $!bound(a-b, p) == FALSE$);
- 当 $|a - b| \in [2^{p-2}, 2^p]$ 时, 函数 `wurzel_approx` 具有多个值, 迭代循环可在不同的深度上中止 (因为 $!bound(a-b, p) == TRUE$ 或 $FALSE$)

3.4 惰性布尔 LAZY_BOOLEAN

由于 iRRAM 用区间近似来计算实数, 因此当比较两个实数值的大小时, 可能出现不同情况, 如图 2 所示:

图 2: 两个实数大小比较的3种情况, x_ϵ, y_ϵ 描述了 iRRAM 所使用的近似区间。

只要区间 x_ϵ und y_ϵ 不相交(如图 2 中的第 2, 3 种情况), 那么就能比较 x 和 y 。对于第1种情况 $x = y$, 两个区间 x_ϵ 和 y_ϵ 有重叠, 无论如何迭代缩小区间 x_ϵ 和 y_ϵ , 都会有重叠。在这种情况下试图比较数的大小, 将导致死循环。

由于无法决定结果到底为真还是假，iRRAM 提供了一个值 \perp ，使计算能够继续。也因此产生了惰性布尔 LAZY_BOOLEAN 这一数据类型，它有三个值分别为： T 、 F 和 \perp 。逻辑操作符 $\&\&$ 、 $\|\|$ 和 $!$ 也同时被扩展，使之能接受这三个值。逻辑操作符的真值表如图 3 所示：

$x\ \ y$	T	F	\perp	$x\&\&y$	T	F	\perp	$!x$	
T	T	T	T	T	T	F	\perp	T	F
F	T	F	\perp	F	F	F	F	F	T
\perp	T	\perp	\perp	\perp	\perp	F	\perp	\perp	\perp

图 3: 逻辑操作符 $\&\&$ 、 $\|\|$ 和 $!$ 的惰性布尔真值表

对惰性布尔这一数据类型有两种处理方法：其一是把值 T 和 F 转化为布尔(bool)值，但值 \perp 则会直接导致死循环。[3, Vgl.]

$$(x < y) = \begin{cases} T, & x < y \\ F, & x > y \\ \perp, & x = y \end{cases} \quad \begin{array}{c|c} x & \text{bool}(x) \\ \hline T & T \\ F & F \\ \perp & \text{undefined} \end{array}$$

3.5 函数 choose

其二用函数 choose 来对惰性布尔这一数据类型加以处理：

```

1 int choose ( const LAZY_BOOLEAN& x1= false,
2             const LAZY_BOOLEAN& x2= false,
3             const LAZY_BOOLEAN& x3= false,
4             ... );

```

表 3: 函数 choose 定义

函数 choose 最多可有 6 个参数 x_1, x_2, x_3, \dots ，并按以下规则确定函数值：如果函数 choose 至少有一个参数值为 T ，就返回那个参数的指数，在该情况下允许其它参数值为 F 和 \perp ；

如果所有参数值为 F ，就返回 0；

当参数值只有 F 和 \perp ，就会进入无限循环（使用函数 choose 时要避免这一情况的产生）；

当有多个参数值同时为 T 时，其中任意一个的指数将被返回，但是无法确定是哪一个。

3.6 仿函数 FUNCTION

仿函数是一个对象，但在使用时，可象函数一样被调用。为了更好的定义数字操作符，我们使用了 FUNCTION 这个仿函数，它要求参数类型和返回值类型作为模板参数。

FUNCTION<PARAM, RESULT>()

4 用 *iRRAM* 库实现三分法并精确计算零点值

我所编的程序要在给定的可计算的实数函数 $f: [a, b] \rightarrow \mathbb{R}$ 且满足 $f(a) * f(b) < 0$ 的条件下能够精确计算零点值。如果给出在闭区间上的零点个数，该程序能够计算出每个零点的精确值。

4.1 程序解释

函数 `null_points (FUNCTION<REAL,REAL> f, int n, REAL l, REAL r)`，的第一个参数是一个仿函数 f ，即给定的可计算的实数函数，我们就是要求此函数的零点；第二个参数 n 给出了函数零点值的个数；最后的两个参数分别是区间的左右边界 l 和 r 。

函数 `null_points` 把闭区间 $[l, r]$ 分成 n 个小的闭区间，并且在每个小的闭区间上满足 $f(l_i) * f(r_i) < 0$ (函数值一正一负)，且 $i = 0, \dots, n-1$ 。这就相当于每个小的闭区间里有，且只有一个零点，也就能用三分法精确计算零点值。

```

214 // vzw: used to count the intervals with different sign of function values at boundary
215 int vzw=0;
216 if (vl!=vr) vzw++;
217
218 // number of null points which are not yet found
219 int numNullPoints = n;
220 while (vzw<n)
221 {
222     intvl z=q.front();
223     q.pop();
224
225     // compute m
226     REAL m = Find_Non_null_point(f, numNullPoints, z.l, z.r);
227     bool vm=(f(m)>0);
228     q.push(intvl(z.l,m,z.vl,vm));
229     q.push(intvl(m,z.r,vm,z.vr));
230     // count the change of signs ...
231     if (z.vl == z.vr && z.vl != vm)
232     {
233         vzw+=2;
234         numNullPoints -= 2;
235     }
236 }

```

Docs/nullstellensuche.cc

变量 `vzw` (第 215 行) 记录正负符号变换的次数，并在 (第 220 行) 作为循环的中止判断条件。

在每一次循环时，都从等待队列 q (先进先出FIFO)中取出最上面的那个区间 $[z.l, z.r]$ ，然后调用函数 `Find_Non_null_point` 找出在此区间中任意一个不是零点的数 m (即 $f(m) \neq 0$)。现在把区间在点 m 处一分为二： $[z.l, m]$ 和 $[m, z.r]$ ，这两个新区间被存入等待队列 q 中，它们又将被继续划分。每次区间划分后都会检验是否有正负符号在新区间上变换 (第 231 行)，如果有变换，变量 `vzw` 就会自动加 2。

如此当找到 n 个这样的区间后，函数 `trisection` (第 245 行) 就能被调用，因为每个区间里正好只有一个零点。如同表1，函数 `trisection` 调用 `limit` 来计算由函数 `trisection_approx` 描述的序列的极限值。

4.2 函数 find_non_null_point

该函数用来找出给定函数 `iFunc` 在区间 $[left, right]$ 上任意一个不是零点的数 m 。它需要 4 个参数分别为：函数 `iFunc`，在区间上的零点个数 `iNumberOfNullPoints`，和区间的左右边界 `left` 及 `right`。该函数将区间 $[left, right]$ 进行等分，得到点 $m_1, \dots, m_{iNumberOfNullPoints+1}$ ，再计算它们函数值的绝对值 $|f(m_1)|, \dots, |f(m_{iNumberOfNullPoints+1})|$ ，然后存入数组 `func_values` 中。

```

167 // Find an arbitrary x in (left, right), whose y value is not 0.
168 // Function values at n+1 positions (x) are calculated. At least one of them are not null.
169 // The absolute values of n+1 function values are saved in an array. Use function choose
170 // to check if they are
171 // greater than zero (not undefined). To do this, loop the array in the reverse order, use
172 // the k-th element
173 // and the 0 to k-1 elements, which are or-ed, as the two parameters of the function
174 // choose.
175 REAL Find_Non_null_point(FUNC iFunc, int iNumberOfNullPoints, REAL left, REAL right)
176 {
177     REAL diff = right - left;
178     std::vector<REAL> func_values;
179     std::vector<REAL> x_values;
180     for(int i=1; i<=iNumberOfNullPoints+1; ++i)
181     {
182         REAL x = left + i * diff / (iNumberOfNullPoints + 2);
183         REAL abs_value = abs(iFunc(x));
184         func_values.push_back(abs_value);
185         x_values.push_back(x);
186     }
187     std::vector<LAZY_BOOLEAN> tests(func_values.size());
188     for(unsigned int i=0; i < func_values.size(); ++i)
189     {
190         tests[i] = func_values[i] > 0;
191     }
192     std::vector<LAZY_BOOLEAN> new_tests(func_values.size());
193     new_tests[0] = tests[0];
194     for(unsigned int i=1; i<new_tests.size(); ++i)
195         new_tests[i] = new_tests[i-1] || tests[i];
196     for(unsigned int i=new_tests.size()-1; i>0; --i)
197     {
198         if (choose(new_tests[i-1], tests[i])==2)
199             return x_values[i];
200     }
201     return x_values[0];
202 }

```

Docs/nullstellensuche.cc

接下来检验所有绝对值是否大于 0，其结果作为 `LAZY_BOOLEAN` 数据类型被存入数组 `tests` 中。因为函数 `choose` 最多只能有 6 个参数，而零点 `iNumberOfNullPoints` 的个数很可能远远多于 6 个，所以在从 192 行到 198 行用到了两次循环，及两个数组来找出不是零点的数。因为函数有 n 个零点，而我们在区间上找了 $n+1$ 个点，所以保证了至少有一个点不是零点，即 $\exists i. |f(m_i)| > 0 = T$ ，函数 `choose` 不会进入无限循环。

4.3 函数 trisection_approx

该函数要求两个 „对“ (pairs) 作为参数。„对“ 的第一个元素是精度 p 和函数 `func`，第二个元素是区间的左右边界 a 和 d (111 - 114行)。

第 117 行函数 `bound` 检验是否已经达到所需精度，或者继续循环。每个循环步骤如同定理 2.6.1 的证明所描述的一样。由于在给定的区间中至少有一个正负号变换，因此第 130 行的函数 `choose` 必有一个参数值为 T ，可以用它选择在哪个区间继续迭代。当精度达到时，该函数返回零点的近似值。

```

107 // in order to use the iRRAM limit operator for FUNCTION<int,REAL>
108 // we formulate with a "trisection_parameter" as argument
109 REAL trisection_approx(const trisection_parameter& p_f_l_r)
110 {
111     int p          = p_f_l_r.first.first;
112     FUNCTION<REAL,REAL> func = p_f_l_r.first.second;
113     REAL a         = p_f_l_r.second.first;
114     REAL d         = p_f_l_r.second.second;
115
116     REAL result = d;
117     while( !bound(d-a,p-1) )
118     {
119         REAL new_a = calc_a(a, d);
120         REAL new_d = calc_d(a, d);
121
122         REAL f_left_left = func(a);
123         REAL f_left_right = func(new_d);
124         REAL f_right_left = func(new_a);
125         REAL f_right_right = func(d);
126
127         REAL f_left = f_left_left * f_left_right;
128         REAL f_right = f_right_left * f_right_right;
129
130         int test=choose(f_left<0,f_right<0);
131         if(test==1) // f_left<0: [a, new_d] is the next interval to be concerned
132             {
133                 d = new_d;
134                 result = d;
135             }
136         else // f_right<0: [new_a, d] is the next interval to be concerned
137             {
138                 a = new_a;
139                 result = a;
140             }
141     }
142     return result;
143 }

```

Docs/nullstellensuche.cc

该函数编程的难点在于使用嵌入的 „对“ 来解决 iRRAM 要求的函数只能有一个参数所带来的限制。

4.4 程序运行结果

程序代码开头有 12 个给定的测试函数。运行程序时，先通过输入数字 1 到 12，来选择测试函数，再给出所需精度（小数点后位数），然后程序能正确返回任意给定精度的零点值。但是有以下几个例外：

- 第三个测试函数 $\sin 3x$ 不能计算零点值，是因为函数的左区间函数值为 0（即 $f(a) = 0$ ），不符合条件 $f(a) * f(b) < 0$ 。

- 第五个测试函数 `exp_flat`，因为它在给定区间里几乎就和 x 轴重叠，在用 `iRRAM` 库求它的实数值时，所需存储空间成指数增加，我们的计算机没有足够存储空间，所以也不能返回结果。
- 程序中的函数 `Find_Non_null_points` 运行较慢，特别当一个函数的零点个数很多时更是如此。这是因为所用算法比较复杂，在分隔区间时必须使用 `REAL` 类。所以如表格1所示，第十个测试函数 `x20` 在给定精度 25 位的情况下，就需要306.95s，当精度要求提高时，计算机没有足够存储空间，所以也不能返回结果(对于第十一，十二个测试函数情况相似)。

在目前的算法中，区间上靠右的点被优先使用（循环是从后面开始）。这意味着所分区间不是平均分布的，区间都挤靠在右边。这也许对少数某些函数是好的，但对大多数函数来说，这是很低效的。我们现在将此算法进行适当修改，使其首先采用中间的点。当区间相对平均分布时，则能更快地找到n个要找的正确的区间。

二分区间的改进算法如下：

```

177 // begin new algorithm
178 std::queue<intvl> q;
179 intvl first(left, right, true, true);
180 q.push(first);
181 REAL l = left;
182 REAL r = right;
183 while(x_values.size() < iNumberOfNullPoints+2)
184 {
185     intvl item = q.front();
186     q.pop();
187     // the interval is always cut in half
188     REAL x = (item.l + item.r) / 2;
189     REAL y = abs(iFunc(x));
190     func_values.push_back(y);
191     x_values.push_back(x);
192
193     q.push(intvl(item.l, x, true, true));
194     q.push(intvl(x, item.r, true, true));
195 }
196 // end new algorithm

```

Docs/nullstellensuche-final.cc

在第188行中显示，区间一直在中点处被一分为二，这个改动大大提高了程序的运行时间，如表格 2 所示：对于零点个数较少的测试函数（第一到第九）运行时间基本没有变动；但是对于零点个数多的测试函数，变化是显而易见的，第十，十一，和第十二个测试函数都给出了精确的零点值。

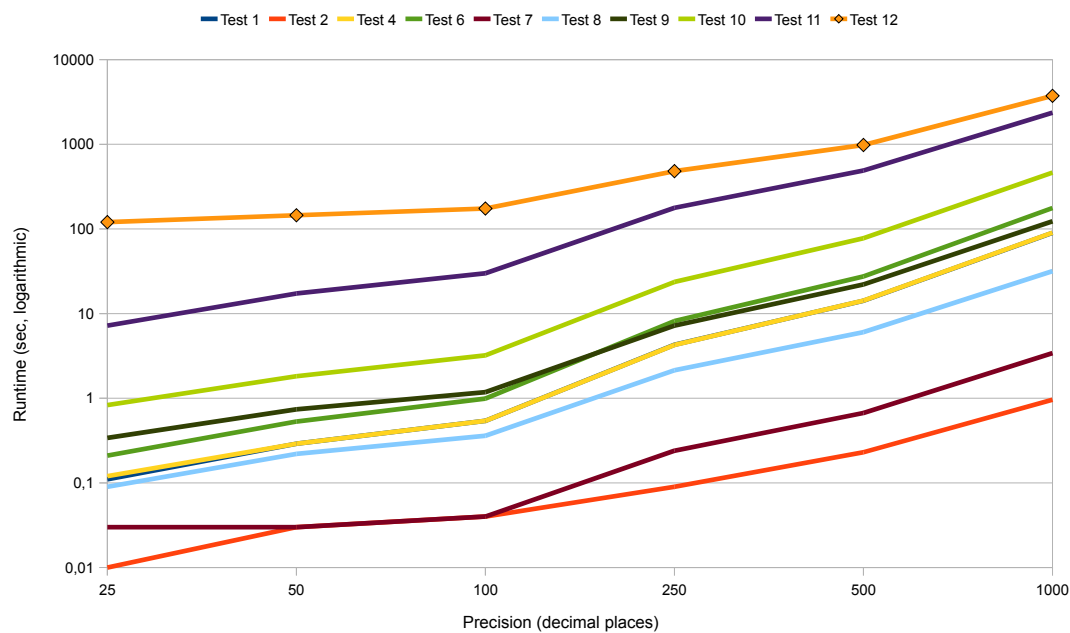


图 4: 优化算法的运行时间

Literatur

- [1] 维基百科. 邱奇-图灵论题 — 维基百科, 自由的百科全书, 2011. [Online; accessed 14-June-2011].
- [2] V. Brattka, P. Hertling, and K. Weihrauch. A tutorial on computable analysis. *New Computational Paradigms*, pages 425–491, 2008.
- [3] N. Mueller. *Exact Real Arithmetic*.
- [4] N. Mueller. The irram: Exact arithmetic in c++. *Computability and Complexity in Analysis*, pages 222–252, 2001.
- [5] N. T. Mueller. The irram: Exact arithmetic in c++, 2010.
- [6] M. Neeb. Beispiele berechenbarer reeller zahlen und abgeschlossenheitseigenschaften, 2010. [Online; Stand 11. Mar 2010].
- [7] K. Weihrauch. *Computable analysis: an introduction*. Springer Verlag, 2000.
- [8] Wikipedia. Turingmaschine — wikipedia, die freie enzyklopaedie, 2011. [Online; Stand 11. Juni 2011].
- [9] Wikipedia. Zwischenwertsatz — wikipedia, die freie enzyklopaedie, 2011. [Online; Stand 14. Juni 2011].

A 程序运行时间表

测试函数	零点个数	精度(小数点后位数)					
		25	50	100	250	500	1000
TF 1	1	0.11(s)	0.29	0.53	4.25	14.1	89.82
TF 2	1	0.01	0.03	0.04	0.09	0.23	0.96
TF 4	1	0.12	0.29	0.54	4.26	14.25	90.32
TF 6	2	0.21	0.53	0.99	8.16	27.51	176.85
TF 7	2	0.03	0.03	0.04	0.24	0.67	3.41
TF 8	5	0.09	0.22	0.36	2.14	6.04	31.73
TF 9	10	0.68	1.1	1.62	8.29	24.33	127.62
TF 10	20	306.95	-	-	-	-	-
TF 11	40	-	-	-	-	-	-
TF 12	40	-	-	-	-	-	-

表格 1: 原程序的运行时间, (-) 表示1000s内没有返回运行结果。

测试函数	零点个数	精度(小数点后位数)					
		25	50	100	250	500	1000
TF 1	1	0.11(s)	0.29	0.53	4.25	14.1	89.82
TF 2	1	0.01	0.03	0.04	0.09	0.23	0.96
TF 4	1	0.12	0.29	0.54	4.26	14.25	90.32
TF 6	2	0.21	0.53	0.99	8.16	27.51	176.85
TF 7	2	0.03	0.03	0.04	0.24	0.67	3.41
TF 8	5	0.09	0.22	0.36	2.14	6.04	31.73
TF 9	10	0.34	0.74	1.18	7.21	22.09	123.12
TF 10	20	0.83	1.82	3.21	23.63	77.67	463.07
TF 11	40	7.21	17.28	29.95	177.44	490.07	2364.05
TF 12	40	120.32	145.08	174.11	481.21	980.46	3738.51

表格 2: 优化算法的运行时间, **TF 1**到**TF 8**的运行时间没有变动, 如表格1。

B 程序代码

```

1 #include "iRRAM.h"
2 #include <queue>
3 #include <vector>
4 #include <utility>
5 #include <time.h>
6 using namespace iRRAM;
7
8 //***** Test functions *****/
9 // Test 1: cos3x has exact one null point in interval [0, 1], and x = pi/6.
10 REAL cos3x(const REAL& iX)
11 {
12     return cos(3 * iX);
13 }
14 // Test 2: line has one null point at 1/3.
15 REAL line(const REAL& iX)
16 {
17     return REAL(3) * iX - REAL(1);
18 }
19 // Test 3: sin3x has one null point on boundary. Error message is shown.
20 REAL sin3x(const REAL& iX)
21 {
22     return sin(3 * iX);
23 }
24 // Test 4: flat is a ver flat function and has the same null point as cons3x.
25 REAL flat(const REAL& iX)
26 {
27     return cos(3 * iX)/1000000000;
28 }
29 // Test 5: exp_flat is an exponential (!) sloping flat function with the null point at
30 // 1/3.
31 REAL exp_flat(const REAL& iX)
32 {
33     return (iX-REAL(1)/3)*exp(-1/(iX-REAL(1)/3)/(iX-REAL(1)/3));
34 }
35 // Test 6: sinus has 2 null points: 0 and pi
36 REAL sinx(const REAL& iX)
37 {
38     return sin(iX);
39 }
40 // Test 7: parable has 2 null points: -1 and 1
41 REAL parable(const REAL& iX)
42 {
43     return iX* iX-1;
44 }
45 // Test 8: x5 has 5 null points: 1/3,1/6,1/7,1/9,1/11
46 REAL x5(const REAL& iX)
47 {
48     return (iX-REAL(1)/3)*(iX-REAL(1)/6)*(iX-REAL(1)/7)*(iX-REAL(1)/9)*(iX-REAL(1)/11);
49 }
50 // Test 9: x10 has 10 null points: 1/3,1/6,1/7,1/9,1/11,6,7,8,9,10
51 REAL x10(const REAL& iX)
52 {
53     return (iX-REAL(1)/3)*(iX-REAL(1)/6)*(iX-REAL(1)/7)*(iX-REAL(1)/9)*(iX-REAL(1)/11)*(iX
54     -6)*(iX-7)*(iX-8)*(iX-9)*(iX-10);
55 }
56 // Test 10: x20 has 20 null points: -10,-9,-8,...,-2,-1,1,2,...,8,9,10
57 REAL x20(const REAL& iX)
58 {
59     REAL Z=1;
60     for (int i=-20;i<= -1;i++) Z=Z*(iX - REAL(i) );
61     for (int i= 1;i<= 20;i++) Z=Z*(iX - REAL(i) );
62     return Z;

```

```

61 }
62 // Test 11: x40 has 40 null points: -1, -1/2, -1/3, ..., -1/20, 1/20, 1/19, ..., 1
63 REAL x40(const REAL& iX)
64 {
65     REAL Z=1;
66     for (int i=-20;i<= -1;i++) Z=Z*(iX - 1/REAL(i) );
67     for (int i= 1;i<= 20;i++) Z=Z*(iX - 1/REAL(i) );
68     return Z;
69 }
70 // Test 12: x40a has 40 null points: -1, -1/2^3, -1/3^3, ..., -1/20^3, 1/20^3, 1/19^3,
    ...1/2^3, 1
71 REAL x40a(const REAL& iX)
72 {
73     REAL Z=1;
74     for (int i=-20;i<= -1;i++) Z=Z*(iX - 1/REAL(i)/REAL(i)/REAL(i));
75     for (int i= 1;i<= 20;i++) Z=Z*(iX - 1/REAL(i)/REAL(i)/REAL(i) );
76     return Z;
77 }
78 /*****
79
80 // new left boundary is calculated.
81 REAL calc_a(REAL old_a, REAL old_d)
82 {
83     return old_a + (old_d - old_a) / 3;
84 }
85
86 // new right boundary is calculated.
87 REAL calc_d(REAL old_a, REAL old_d)
88 {
89     return old_a + 2 * (old_d - old_a) / 3;
90 }
91
92 // we need four parameters to do the trisection:
93 // 1) the intended precision
94 // 2) the function under consideration
95 // 3) a left border
96 // 4) a right border
97
98 // first we define a corresponding type.
99 // the standard libraries only allow for pairs, so we have to nest the pairing
100 typedef FUNCTION<REAL,REAL> FUNC;
101
102 typedef std::pair< std::pair<int, FUNCTION<REAL,REAL> >, std::pair<REAL,REAL> >
    trisection_parameter;
103
104 // the following routine returns an approximation to one of the roots
105 // of the function under consideration
106
107 // in order to use the iRRAM limit operator for FUNCTION<int,REAL>
108 // we formulate with a "trisection_parameter" as argument
109 REAL trisection_approx(const trisection_parameter& p_f_l_r)
110 {
111     int p          = p_f_l_r.first.first;
112     FUNCTION<REAL,REAL> func = p_f_l_r.first.second;
113     REAL a         = p_f_l_r.second.first;
114     REAL d         = p_f_l_r.second.second;
115
116     REAL result = d;
117     while( !bound(d-a,p-1) )
118     {
119         REAL new_a = calc_a(a, d);
120         REAL new_d = calc_d(a, d);
121
122         REAL f_left_left = func(a);
123         REAL f_left_right = func(new_d);

```

```

124 REAL f_right_left = func(new_a);
125 REAL f_right_right = func(d);
126
127 REAL f_left = f_left_left * f_left_right;
128 REAL f_right = f_right_left * f_right_right;
129
130 int test=choose(f_left<0,f_right<0);
131 if(test==1) // f_left<0: [a, new_d] is the next interval to be concerned
132 {
133     d = new_d;
134     result = d;
135 }
136 else // f_right<0: [new_a, d] is the next interval to be concerned
137 {
138     a = new_a;
139     result = a;
140 }
141 }
142 return result;
143 }
144
145 // now we add the limit process and do the necessary conversions between the types
146 REAL trisection(FUNCTION<REAL,REAL> f, const REAL& left, const REAL& right){
147     FUNCTION<int,REAL> fp=bind_second(
148         bind_second(
149             FUNCTION<trisection_parameter,REAL>(trisection_approx),
150             std::pair<REAL,REAL>(left,right)),
151         f);
152     return limit(fp);
153 }
154
155 // Interval structure to save the boundaries and signs of function values on the
156 // boundaries
157 struct intvl
158 {
159     REAL l;
160     REAL r;
161     bool vl;
162     bool vr;
163
164     intvl(REAL il, REAL ir, bool ivl, bool ivr) : l(il), r(ir), vl(ivl), vr(ivr)
165     {}
166 };
167 // Find an arbitrary x in (left, right), whose y value is not 0.
168 // Function values at n+1 positions (x) are calculated. At least one of them are not null.
169 // The absolute values of n+1 function values are saved in an array. Use function choose
170 // to check if they are
171 // greater than zero (not undefined). To do this, loop the array in the reverse order, use
172 // the k-th element
173 // and the 0 to k-1 elements, which are or-ed, as the two parameters of the function
174 // choose.
175 REAL Find_Non_null_point(FUNC iFunc, int iNumberOfNullPoints, REAL left, REAL right)
176 {
177     REAL diff = right - left;
178     std::vector<REAL> func_values;
179     std::vector<REAL> x_values;
180     for(int i=1; i<=iNumberOfNullPoints+1; ++i)
181     {
182         REAL x = left + i * diff / (iNumberOfNullPoints + 2);
183         REAL abs_value = abs(iFunc(x));
184         func_values.push_back(abs_value);
185         x_values.push_back(x);
186     }
187     std::vector<LAZY_BOOLEAN> tests(func_values.size());

```

```

185   for(unsigned int i=0; i < func_values.size(); ++i)
186   {
187       tests[i] = func_values[i] > 0;
188   }
189
190   std::vector<LAZY_BOOLEAN> new_tests(func_values.size());
191   new_tests[0] = tests[0];
192   for(unsigned int i=1; i<new_tests.size(); ++i)
193       new_tests[i] = new_tests[i-1] || tests[i];
194   for(unsigned int i=tests.size()-1; i>0; --i)
195   {
196       if (choose(new_tests[i-1], tests[i])==2)
197           return x_values[i];
198   }
199   return x_values[0];
200 }
201
202 // Find the n null points of the function in the interval (l, r).
203 // We search n sub intervals, which have only one null point.
204 // Then we use the algorithm 'trisection' to calculate the x value.
205 void null_points(FUNCTION<REAL,REAL> f, int n, REAL l, REAL r, int prec)
206 {
207     // use queue to store the interval information
208     using std::queue;
209     queue<intvl> q;
210     bool vl=f(l)>0,vr=f(r)>0;
211     // first item in queue: the initial interval
212     q.push(intvl(l,r,vl,vr));
213
214     // vzw: used to count the intervals with different sign of function values at boundary
215     int vzw=0;
216     if (vl!=vr) vzw++;
217
218     // number of null points which are not yet found
219     int numNullPoints = n;
220     while (vzw<n)
221     {
222         intvl z=q.front();
223         q.pop();
224
225         // compute m
226         REAL m = Find_Non_null_point(f, numNullPoints, z.l, z.r);
227         bool vm=(f(m)>0);
228         q.push(intvl(z.l,m,z.vl,vm));
229         q.push(intvl(m,z.r,vm,z.vr));
230         // count the change of signs ...
231         if (z.vl == z.vr && z.vl != vm)
232         {
233             vzw+=2;
234             numNullPoints -= 2;
235         }
236     }
237     // use trisection to calculate null points
238     int deci_places = prec;
239     while(q.empty()==false)
240     {
241         intvl item = q.front();
242         q.pop();
243         if(item.vl == item.vr)
244             continue;
245         REAL result = trisection( f, item.l, item.r);
246         cout << "result: ";
247         cout << setw(deci_places+8);
248         cout << result << "\n" ;
249     }

```

```

250 }
251
252 void compute(){
253     int test, prec;
254     clock_t start, end;
255     cout <<
256     "Function selection: 1#cos(3x); 2#line; 3#sin(3x); 4#flach; 5#exp-flach;\n"
257     << " 6#sin(x); 7#parable(x); 8#x5; 9#x10; 10#x20; 11#x40; 12#x40a\n";
258     cin >> test;
259     cout << "Praezision: \n";
260     cin >> prec;
261     FUNCTION<REAL,REAL> f;
262     unsigned int numOfNullPoints;
263     REAL left_boundary, right_boundary;
264     switch (test) {
265         case 1: f= FUNCTION<REAL,REAL>(cos3x) ; numOfNullPoints=1; left_boundary=0;
                right_boundary=1; break;
266         case 2: f= FUNCTION<REAL,REAL>(line) ; numOfNullPoints=1; left_boundary=0;
                right_boundary=1; break;
267         case 3: f= FUNCTION<REAL,REAL>(sin3x) ; numOfNullPoints=1; left_boundary=0;
                right_boundary=1; break;
268         case 4: f= FUNCTION<REAL,REAL>(flat) ; numOfNullPoints=1; left_boundary=0;
                right_boundary=1; break;
269         case 5: f= FUNCTION<REAL,REAL>(exp_flat) ; numOfNullPoints=1; left_boundary=0;
                right_boundary=1; break;
270         case 6: f= FUNCTION<REAL,REAL>(sin) ; numOfNullPoints=2; left_boundary=-1;
                right_boundary=4; break;
271         case 7: f= FUNCTION<REAL,REAL>(parable) ; numOfNullPoints=2; left_boundary=-3;
                right_boundary=5; break;
272         case 8: f= FUNCTION<REAL,REAL>(x5) ; numOfNullPoints=5; left_boundary=-0.9;
                right_boundary=5.1; break;
273         case 9: f= FUNCTION<REAL,REAL>(x10) ; numOfNullPoints=10; left_boundary=-2;
                right_boundary=50; break;
274         case 10: f= FUNCTION<REAL,REAL>(x20) ; numOfNullPoints=20; left_boundary=-20;
                right_boundary=20; break;
275         case 11: f= FUNCTION<REAL,REAL>(x40) ; numOfNullPoints=40; left_boundary=-2;
                right_boundary=2; break;
276         case 12: f= FUNCTION<REAL,REAL>(x40a) ; numOfNullPoints=40; left_boundary=-2;
                right_boundary=2; break;
277         default: cout << "Wrong input!\n"; return;
278     }
279     start = clock();
280     null_points(f, numOfNullPoints, left_boundary, right_boundary, prec);
281     end = clock();
282     cout << "Zeit (s):" <<(float)(end - start)/(float)(CLOCKS_PER_SEC) << "\n\n\n";
283 }

```